

液相外延生长 $In_xGa_{1-x}As_ySb_{1-y}/GaSb$ 及其性质研究*

刘学锋 龚秀英 王占国

(中国科学院半导体研究所,北京)

1989年10月13日收到

本文利用液相外延方法,在较大组分范围内($0 \leq x \leq 0.17, 0 \leq y \leq 0.12$),成功地生长出了晶格匹配于(100) GaSb 衬底的 $In_xGa_{1-x}As_ySb_{1-y}$ 四元材料,并对其性质进行了实验观察和研究。结果表明,这种表面光亮、层厚均匀、异质结界面平直以及纯度较高、完整性好的外延薄膜是制作超长波长光电器件的理想材料。

主题词 液相外延,晶格匹配,阴极荧光

一、引言

随着新型光纤材料(如重金属氟化物玻璃)的出现^[1], III-V 族四元固溶体材料引起了人们广泛的重视。由于该新型光纤材料的传输损耗在 2—4 μm 之间,较二氧化硅玻璃材料的传输损耗要小 2—3 个数量级,而其工作波长可随着组分不同从 1.75 μm 变化到 4.4 μm,恰好覆盖了新型光纤材料的损耗极小范围,且能够实现在不同的波长范围内分别与 InP^[2]、GaSb^[3-5] 和 InAs^[6,7] 衬底晶格匹配,因此,四元锑化物合金如 InGaAsSb、AlGaAsSb 等是很有希望的新一代半导体超长波长光电器件基础材料。

在 GaSb 衬底上液相外延生长 $In_xGa_{1-x}As_ySb_{1-y}$ 是目前国际上一个非常活跃的领域。A. Joullie^[4] 等和 J. Dewinter^[5] 等应用液相外延的方法分别生长出了晶格匹配于(111) GaSb 和(100) GaSb 的 InGaAsSb,其波长范围在 1.72—2.33 μm 之间,由于四元固溶体组分在很大范围内存在着混溶隙,使得该材料的液相外延生长组分受到很大的限制。其中某些组分是液相外延无法实现的。我们采用液相外延的方法在国内首先生长成功与(100) GaSb 衬底晶格匹配的 $In_xGa_{1-x}As_ySb_{1-y}$ ^[8],其室温下最长波长为 2.18 μm,并对该材料的性质进行了测量和分析,获得了某些有益的结果。

二、实验过程

液相外延生长是在水平滑动石墨舟生长系统中进行的,钯扩散的氢气用作保护气氛,

* 本工作得到国家高技术基金的资助。

外延衬底为(100)取向的P型GaSb, 其面积为 $12 \times 14\text{ mm}^2$, 厚度约 $500\mu\text{m}$, 单面抛光。由于GaSb材料在空气中极易氧化, 因此外延生长前须经严密的化学处理。生长源采用6N Ga、6N In、6N Sb, 未掺杂的GaAs及GaSb。

外延生长分二步进行。首先, 将称量好的生长源放置在石墨舟生长槽内, 升温至 650°C , 使生长源充分地溶解混合; 2小时以后, 降温使溶液冷却, 即配制好饱和溶液。然后, 待系统冷至室温后将衬底放入石墨舟衬底槽内, 将炉温升至生长溶液的临界饱和温度, 起始过冷度为 2°C , 本实验采用的不同组分溶液的临界饱和温度在 $520^\circ\text{--}530^\circ\text{C}$ 之间, 采用降温速率为 $0.4^\circ\text{C}/\text{分}$, 待温度降低到低于起始温度 $5\text{--}10^\circ\text{C}$ 后, 将生长溶液推走, 外延生长过程结束。

三、实验结果与讨论

1) $InGaAsSb/GaSb$ 的表面形貌与异质结界面

我们在不同的组分条件下生长了与GaSb衬底晶格匹配的 $In_xGa_{1-x}As_ySb_{1-y}$ 四元合金。所得外延片表面光亮、外延层厚度均匀, 层厚一般控制在 $2\text{--}8\mu\text{m}$ 之间。用Normalski干涉相衬显微镜观察了外延层的表面形貌和异质结界面, 见图1¹⁾, 样品Sb-705(图a)表面光亮平整, 是比较理想的外延材料, Sb-905(图b)表面光亮, 但有明显的波纹线。图(c)是晶格失配的外延层表面, 我们可以看到明显的失配条纹, 图(d)是样品Sb-705的外延层与衬底交界面照片, 可见交界线平直, 外延层厚度均匀。

2) 固体组分与晶格失配度

样品的电子探针显微分析给出了不同样品的外延层组分, 见表1。表中还给出了样品的X射线双晶衍射测量的晶格失配度和80K下阴极荧光的峰值波长与半高宽。

表1 LPE $In_xGa_{1-x}As_ySb_{1-y}/GaSb$ 的固体组分与晶格失配度及80K下样品的阴极荧光峰值波长和半高宽

样品号	x	y	$\Delta a/a(10^{-3})^*$	$\Delta a/a(10^{-3})^{**}$	$\lambda_{CL}^{80K}(\mu\text{m})$	FWHM(meV)
Sb-705	0.06	0.07	-1.2	-1.4	1.69	16.2
Sb-407	0.07	0.05	+0.5	+0.7	1.73	12.0
Sb-708	0.11	0.07	+1.2	+1.7	1.80	14.2
Sb-421	0.12	0.11	-0.2	-0.6	1.88	18.6
Sb-905	0.17	0.12	+1.6	+1.8	1.95	17.2

* $\Delta a/a$ 为X射线双晶衍射分析值。

** $\Delta a/a$ 为计算值。

从表中可见, 晶格匹配的 $In_xGa_{1-x}As_ySb_{1-y}/GaSb$ 材料是在富GaSb组分下得到的, 我们得到的材料晶格匹配的组分范围是 $0 \leq x \leq 0.17$, $0 \leq y \leq 0.12$ 。液相外延生长异质结材料的晶格失配度定义为

$$\epsilon = \frac{a_L - a_s}{a_s}$$

1) 图1见图版I。

a_L 为外延层晶格常数, a_s 为衬底材料的晶格常数。

对于 $\text{In}_x\text{Ga}_{1-x}\text{As}_y\text{Sb}_{1-y}$, 四元合金, 我们用插值法得出了晶格常数与组分 x, y 之间的变化关系

$$a_L = 6.094 + 0.385x - 0.452y + 0.0312xy$$

将固体组分 x, y 值代入上式, 可得到相应样品的晶格失配度计算值(见表 1), 其结果与 X 射线双晶衍射获得的值基本一致。由上式可知, 改变 x, y 值, 将影响异质结材料的晶格失配度, 由样品 Sb-705 和 Sb-708 可见, 固相组分 y 没有改变, 而当 x 值由 0.06 变化到 0.11 时, 相应的晶格失配度则由 -1.2×10^{-3} 变化到 $+1.6 \times 10^{-3}$, 由此可见, 只要仔细调整 x 值, 便可获得晶格失配度更小的外延材料(如 Sb-407, 其 $\epsilon = 5 \times 10^{-4}$)。

图 2 给出了 $\text{In}_x\text{Ga}_{1-x}\text{As}_y\text{Sb}_{1-y}/\text{GaSb}(100)$ 样品 Sb-705 和 Sb-905 的 X 射线双晶衍射迴摆曲线。实验采用 Si(422) 为单色器, 辐射线为 $\text{Cu K}\alpha_1$, 衍射面为(004)以 GaSb 衬底衍射为标准峰。由图可见, 对于晶格正失配材料, 外延层衍射峰为许多子峰的迭加, 该现象表明外延层组分沿厚度方向存在一组分梯度, 外延层与衬底交界面处的

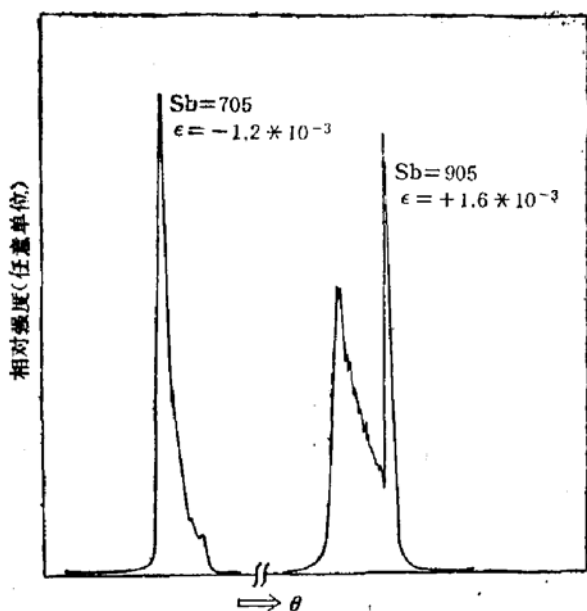


图 2 $\text{In}_x\text{Ga}_{1-x}\text{As}_y\text{Sb}_{1-y}/\text{GaSb}(100)$ 样品 Sb-705 和 Sb-905 的 X 射线双晶衍射迴摆曲线

峰的迭加, 该现象表明外延层组分沿厚度方向存在一组分梯度, 外延层与衬底交界面处的

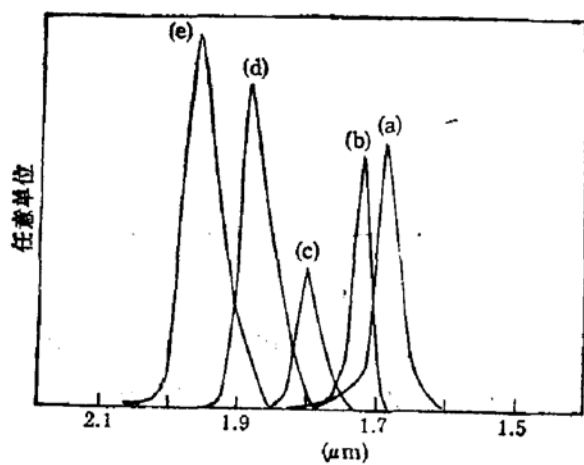


图 3 $\text{In}_x\text{Ga}_{1-x}\text{As}_y\text{Sb}_{1-y}/\text{GaSb}(100)$ 样品的 80K 带边阴极荧光谱线, 其中 (a) Sb-705; (b) Sb-407
(c) Sb-708 (d) Sb-421 (e) Sb-905

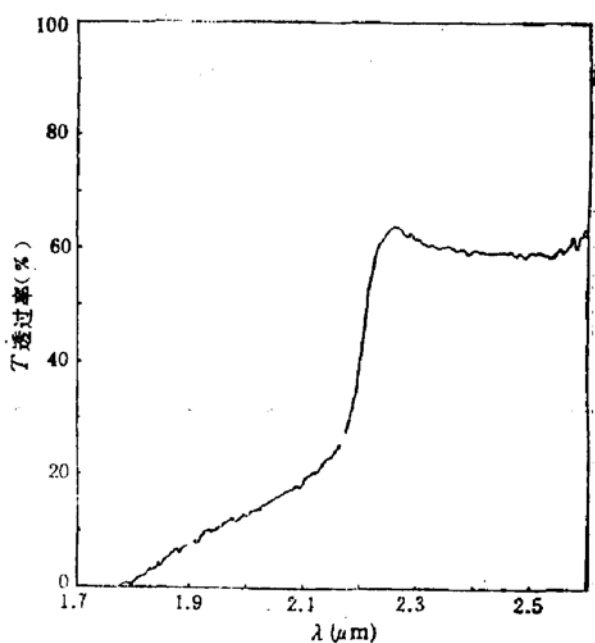


图 4 $\text{In}_x\text{Ga}_{1-x}\text{As}_y\text{Sb}_{1-y}/\text{GaSb}(100)$ 样品 Sb-905 室温下的红外吸收谱线

晶格失配度较小, 远离交界面处晶格失配逐渐增大; 对于负失配材料没有观察到上述现

象。我们认为这是 $In_xGa_{1-x}As_ySb_{1-y}$ 四元合金中的 As 的分凝系数随着温度降低显著增大所致。在正失配情况下, As 的耗尽占主导地位, 因而导致在远离异质结交界面处 As 的含量相应减少, Sb 含量相应增大, 使得正失配材料的远离交界面处的失配度较异质结处要大。而在负失配情况下, Ga 和 Sb 的分凝占主导地位, 使得整个外延层的组分较为均匀。

3) 发光性质

阴极荧光测量是在 JXA-3A 电子探针 X-射线显微分析仪上进行的, 分光系统是 H-25 光栅单色仪, 用干冰冷却的 PbS 探测器接受讯号, 电子束能量为 25kev, 束流为 $1.5 \times 10^{-7} A$ 。样品的 80K 下的阴极荧光谱线如图 3 所示, 不同样品带边发光的峰值波长与谱线半高宽见表 1, 显然随着固体组分值 x, y 的增大, 带边发光峰波长向长波长方向移动, 而谱线半高宽则保持在 12—20meV 之间。较窄的半高宽反映了外延样品具有较高的纯度。对应于最大固体组分 $x = 0.17, y = 0.12$, 80K 下的阴极荧光带边发光峰值波长为 $1.95 \mu m$, 该样品的红外吸收谱表明, 室温下波长达 $2.18 \mu m$, 见图 4, 这是目前国内用 LPE 法获得的晶格匹配于 GaSb 衬底的最长波长的四元锑化物材料。

四、结 论

应用液相外延的方法在 $0 \leq x \leq 0.17, 0 \leq y \leq 0.12$ 组分范围内生长出了晶格匹配于 (100) GaSb 的 $In_xGa_{1-x}As_ySb_{1-y}$ 四元合金, X 射线双晶衍射结果表明, 外延层与衬底的晶格最小失配度可优于 $+2 \times 10^{-4}$, X 射线阴极荧光测量获得了 80K 下外延样品的带边发光光谱, 对应组分 $x = 0.17, y = 0.12$ 样品的发光谱线半高宽为 19meV, 峰值波长为 $\lambda_{CL} = 1.95 \mu m$, 红外吸收谱线表明该样品的室温波长达 $2.18 \mu m$, 这是国内所获得的超长波长范围纯度较好的四元锑化物材料。

作者感谢李成基、王玉田、杨保华、韩文蔷、卢文宏、赵海洋等同志给予的帮助。

参 考 文 献

- [1] Dank C. Tran, George H. Sigel, Jr., and Bernard Bendow, *J. of Lightwave Technology (Special Issue on Low-Loss Fibers)*, LT -2, 566(1984).
- [2] X. Y. Gong, K. S. Lochner, P. Zwischenagl, E. Bauser, *Chinese J. of Luminescence*, 8, 206(1987).
- [3] M. Astles, H. Hill, A. J. Williams, P. J. Wright and M. L. Young, *J. of Electr. Mater.*, 15, 1(1986).
- [4] A. Joullie, F. JiaHua, F. Karouta and H. Mani, *J. of Crystal Growth*, 75, 309(1986).
- [5] J. C. Dewinter, M. A. Pollack, A. K. Srivastava and J. L. Zyskind, *J. of Electr. Mater.*, 14(6), 729(1985).
- [6] R. Sankaran and G. A. Antypas, *J. of Crystal Growth*, 36, 198(1976).
- [7] K. Nakajima, K. Osamura and K. Yasuda, *J. of Crystal Growth*, 41, 87(1977).
- [8] 刘学峰、龚秀英, 第五届全国半导体化合物材料、微波器件、光电器件学术会议文集摘要, A-21, 江西庐山, 1988.

LPE Growth and Properties of $In_xGa_{1-x}As_ySb_{1-y}$ Lattice-Matched to (100) GaSb

Liu Xuefeng, Gong Xuiying and Wang Zhangou

(Institute of Semiconductors, Academia Sinica, Beijing)

Abstract

$In_xGa_{1-x}As_ySb_{1-y}$, epitaxial layers lattice matched to (100) GaSb substrates have been successfully grown in a composition range ($0 < x < 0.17$, $0 < y < 0.12$) by LPE technique. Double crystal X-ray diffraction measurements show that the minimum lattice mismatch, $< 2 \times 10^{-4}$, can be reached if the liquid compositions are carefully designed. The 80 K cathode-luminescence spectra on these epitaxial layers indicate that the bandgap energy range is from 0.733 eV 0.635 eV, and the longest peak wavelength of $1.95 \mu m$ has been reached with the maximum solid composition $x=0.17$, $y=0.12$. Infrared absorption spectrum of this epilayer shows an emission wavelength of $2.18 \mu m$ at room temperature.

Key words Liquid phase epitaxy, Lattice-match, Cathode-luminescence